

I-194 3連モーメントをフレキシビリティとする  
ディスクリートな振動モデルについて

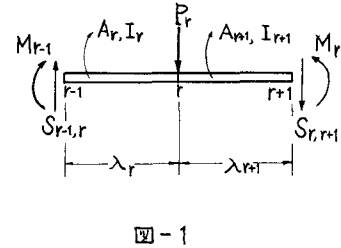
室蘭工業大学	正員	能町 純雄
全上	正員	松岡 健一
全上	学生員	○佐渡 公明

1. まえがき

一般に橋梁の固有振動数を解析的に求めるには、力学的に等価な有限自由度の discrete な振動系に単純化して取扱うのが便利である。本文はその際、3連モーメント式とフレキシビリティ(弾性性状)とする方法により分割数が少なくとも、精度の良い固有振動解析ができることを示したものである。

即ち曲げ振動では通常の3連モーメント式をフレキシビリティとし、せん断力の釣合式と組み合わせて曲げ振れ振動に於ては、各分割区画の振れ角  $\varphi_r$  と曲げ振れモーメント  $M_r$  を未知量とし、 $\varphi_r$  については分割点  $r$  の両区画部分の振れモーメントの釣合を取り、 $M_r$  については  $\varphi_r$  が  $r$  で微分的に連続しているという条件より曲げ振れに対する3連モーメント式を導き、これをフレキシビリティとした。

最後に 2, 3 の数値計算例をもって精度の良いことを示した。



2. 曲げ振動解析 図-1に示した記号を用い、格点  $r$  の両区画部分のせん断力の釣合を取ると  $\frac{M_{r-1}}{\lambda_r} - \left(\frac{1}{\lambda_r} + \frac{1}{\lambda_{r+1}}\right) M_r + \frac{M_{r+1}}{\lambda_{r+1}} = -P_r$  (1)

$P_r$  と慣性力  $-\frac{g}{8} \lambda_r A_r \ddot{\varphi}_{r,t}$  を置き換えると ( $\ddot{\cdot}$  は時間  $t$  の 2 度微分)

$$\frac{M_{r-1,t}}{\lambda_r} - \left(\frac{1}{\lambda_r} + \frac{1}{\lambda_{r+1}}\right) M_{r,t} + \frac{M_{r+1,t}}{\lambda_{r+1}} = \frac{g \lambda_r A_r}{8} \ddot{\varphi}_{r,t} \quad (2)$$

正弦振動を仮定して  $\varphi_{r,t} = \varphi_r \sin \omega t$ ,  $M_{r,t} = M_r \sin \omega t$  とおくと

$$-\frac{g}{8 \lambda_r A_r} \left\{ \frac{M_{r-1}}{\lambda_r} - \left(\frac{1}{\lambda_r} + \frac{1}{\lambda_{r+1}}\right) M_r + \frac{M_{r+1}}{\lambda_{r+1}} \right\} = P^2 \varphi_r \quad (3) \quad (P: 円振動数)$$

$$\text{他方3連モーメント式は } \frac{1}{6E} \left\{ \frac{\lambda_r}{I_r} M_{r-1} + 2 \left( \frac{\lambda_r}{I_r} + \frac{\lambda_{r+1}}{I_{r+1}} \right) M_r + \frac{\lambda_{r+1}}{I_{r+1}} M_{r+1} \right\} = -\frac{\ddot{\varphi}_{r,t}}{\lambda_r} + \left( \frac{1}{\lambda_r} + \frac{1}{\lambda_{r+1}} \right) \varphi_r - \frac{\ddot{\varphi}_{r+1,t}}{\lambda_{r+1}} \quad (4)$$

$$(4), (3) をマトリックス表示して  $A\{M\} = B\{y\} \quad \dots \dots \quad (5) \quad C\{M\} = P^2 E\{y\} \quad \dots \dots \quad (6)$$$

$$(5), (6) より  $\{M\}$  を消去して  $\{CA^{-1}B - P^2 E\}\{y\} = 0 \quad \dots \dots \quad (7) \quad E: \text{単位マトリックス}$$$

$$\{y\} \neq 0 \text{ であるから, 次の振動数方程式が得られる} \quad \det(CA^{-1}B - P^2 E) = 0 \quad \dots \dots \quad (8)$$

今、等断面・等区間長の場合を考え (4) を差分式で表わすと

$$\frac{1}{6EI} \left\{ \Delta^2 M_{r-1} + 6 M_r \right\} = -\frac{\Delta^2 \ddot{\varphi}_{r-1}}{\lambda_r^2} \quad \dots \dots \quad (9) \quad \Delta^2 M_{r-1} = 0 \text{ とすると} \quad \frac{M_r}{EI} = -\frac{\Delta^2 \ddot{\varphi}_{r-1}}{\lambda_r^2} \quad \dots \dots \quad (10)$$

よって discrete な振動系を考える場合、3連モーメントをフレキシビリティとする方法が  $\Delta^2 M_{r-1}$  を考慮しているので、 $M = -EI \ddot{\varphi}$  の差分式をフレキシビリティとする方法より精度の良いことが分かる。

3. 曲げ振れ振動解析 (曲げ振れ振動に対する3連モーメント式の誘導)

振れ荷重が作用した時の微分方程式は  $(EC_w \ddot{\varphi})'' - GJ \ddot{\varphi} = m_T \quad \dots \dots \quad (11) \quad B = -EC_w \ddot{\varphi} \quad \dots \dots \quad (12)$

$B$ : 曲げ振れモーメント  $\varphi$ : 振れ角  $EC_w$ : 曲げ振れ剛性  $m_T$ : 等分布振れ荷重

$GJ$ : 振れ剛性 “” は図-2に示す様、せん断中心を通じてスパン方向に  $x$  軸を取り、 $x$  での 2 度微分

各格美に回転慣性モーメントが作用するので  $M_T = 0$  とし  
 $(11), (12)$  より  $\dot{\varphi}$  を消去し  $\ddot{B} - k^2 B = 0 \quad \dots (13) \quad k^2 = \frac{GJ}{ECw}$

$r, r+1$  の分割区間に對し,  $x=0$  で  $B=B_r, x=\lambda_{r+1}$

$B=B_{r+1}$  の境界条件で (13) を解くと

$$B = B_r \frac{\sinh k_{r+1}(\lambda_{r+1}-x)}{\sinh k_{r+1}\lambda_{r+1}} + B_{r+1} \frac{\sinh k_{r+1}x}{\sinh k_{r+1}\lambda_{r+1}} \quad (14)$$

$r, r+1$  間の振れモーメントを  $H_{r,r+1}$  とすると

$$H_{r,r+1} = \dot{B} + GJ\dot{\varphi} \Big|_{x=0} \quad (15)$$

$$H_{r+1,r} = \dot{B} + GJ\dot{\varphi} \Big|_{x=\lambda_{r+1}} \quad (16)$$

$$(15), (16) を差分式で表わして \quad H_{r,r+1} = H_{r+1,r} = \frac{\Delta B_r}{\lambda_{r+1}} + \frac{GJ_{r+1}}{\lambda_{r+1}} \Delta \varphi_r \quad (17)$$

右側の両区画部分のトルクの釣合式  $H_{r+1,r} - H_{r,r+1} + M_{Tr} = 0 \quad \dots (18)$  に (17) を代入して

$M_{Tr}$  を慣性トルク  $-\frac{x\lambda_r I_{pr}}{g} \ddot{\varphi}_{r,t} - \frac{x\lambda_r A_r}{g} (e_r \ddot{\varphi}_{r,t}) e_r$  で置き換えると

$$\frac{B_{r+1} - B_r}{\lambda_{r+1}} + GJ_{r+1} \frac{\varphi_{r+1} - \varphi_r}{\lambda_{r+1}} - \frac{B_r - B_{r-1}}{\lambda_r} - GJ_r \frac{\varphi_r - \varphi_{r-1}}{\lambda_r} - \frac{x\lambda_r I_{pr}}{g} \ddot{\varphi}_{r,t} - \frac{x\lambda_r A_r}{g} e_r^2 \ddot{\varphi}_{r,t} = 0 \quad (19)$$

正弦振動を仮定して  $\varphi_{r,t} = \varphi_r \sin pt, B_{r,t} = B_r \sin pt$  とおくと (19) は

$$-\frac{g}{x\lambda_r (I_{pr} + e_r^2 A_r)} \left[ \frac{B_{r-1}}{\lambda_r} - \left( \frac{1}{\lambda_r} + \frac{1}{\lambda_{r+1}} \right) B_r + \frac{B_{r+1}}{\lambda_{r+1}} + \frac{GJ_r}{\lambda_r} \varphi_{r-1} - \left( \frac{GJ_r}{\lambda_r} + \frac{GJ_{r+1}}{\lambda_{r+1}} \right) \varphi_r + \frac{GJ_{r+1}}{\lambda_{r+1}} \varphi_{r+1} \right] = p^2 \varphi_r \quad (20)$$

次に (14) を 2重積分して

$$\iint B dx dx = \frac{B_r}{k_{r+1}^2} \left[ \frac{\sinh k_{r+1}(\lambda_{r+1}-x)}{\sinh k_{r+1}\lambda_{r+1}} - \frac{\lambda_{r+1}-x}{\lambda_{r+1}} \right] + \frac{B_{r+1}}{k_{r+1}^2} \left[ \frac{\sinh k_{r+1}x}{\sinh k_{r+1}\lambda_{r+1}} - \frac{x}{\lambda_{r+1}} \right] \\ + \bar{B}_r \frac{\lambda_{r+1}-x}{\lambda_{r+1}} + \bar{B}_{r+1} \frac{x}{\lambda_{r+1}} = -ECw\varphi \quad \dots (21) \quad (B \text{ の上の } 2 \text{ 重 bar } \text{ は } 2 \text{ 重積分の事})$$

(21) を  $x$  で微分し,  $r, r+1$  間で評価すると

$$ECw \frac{d\varphi}{dx} \Big|_{r,r+1} = \frac{B_r}{k_{r+1}} \varphi_r(0) - \frac{B_{r+1}}{k_{r+1}} \varphi_r(1) + ECw_{r+1} \frac{\varphi_{r+1}-\varphi_r}{\lambda_{r+1}} \quad (22) \quad ECw \frac{d\varphi}{dx} \Big|_{r+1,r} = \frac{B_r}{k_{r+1}} \varphi_r(1) - \frac{B_{r+1}}{k_{r+1}} \varphi_r(0) + ECw_{r+1} \frac{\varphi_{r+1}-\varphi_r}{\lambda_{r+1}}$$

但し  $\varphi_r(0) = \frac{1}{\tanh k_{r+1}\lambda_{r+1}} - \frac{1}{k_{r+1}\lambda_{r+1}}, \varphi_r(1) = \frac{1}{\sinh k_{r+1}\lambda_{r+1}} - \frac{1}{k_{r+1}\lambda_{r+1}} \quad \dots (24) \quad \dots (23)$

$\frac{d\varphi}{dx} \Big|_{r,r+1} = \frac{d\varphi}{dx} \Big|_{r+1,r}$  に (22), (23) を代入して

$$-\frac{k_r \varphi_{r-1}(1)}{GJ_r} B_{r-1} + \left( \frac{k_r \varphi_{r-1}(0)}{GJ_r} + \frac{k_{r+1} \varphi_r(0)}{GJ_{r+1}} \right) B_r - \frac{k_{r+1} \varphi_r(1)}{GJ_{r+1}} B_{r+1} + \frac{\varphi_{r+1}}{\lambda_r} - \left( \frac{1}{\lambda_r} + \frac{1}{\lambda_{r+1}} \right) \varphi_r + \frac{\varphi_{r+1}}{\lambda_{r+1}} = 0 \quad (25)$$

この (25) 式が曲げ振れに対する 3連モーメント式である。

(25), (20) をマトリックス表示して  $F\{B\} = G\{\varphi\} \quad \dots (26) \quad H\{B\} + I\{\varphi\} = P^2 E\{\varphi\} \quad \dots (27)$

(26), (27) より  $\{B\}$  を消去し,  $\{\varphi\}$  が 0 のじご次の振動数方程式を得る  $\det(HE^{-1}G + I - P^2 E) = 0 \quad \dots (28)$

ここで, 等断面・等区間長の場合 (25) は  $-\frac{k\lambda}{GJ} \{ \varphi(1) \delta^2 B_{r-1} + 2(\varphi(1) - \varphi(0)) B_r \} + \delta^2 \varphi_{r-1} = 0 \quad \dots (29)$

$\varphi(1) - \varphi(0) = -\tanh \frac{k\lambda}{2}$  を代入し,  $\delta^2 B_{r-1} = 0$  とすると  $\delta^2 \varphi_{r-1} = -\frac{2k\lambda}{GJ} \tanh \frac{k\lambda}{2} B_r = -\frac{k^2 \lambda^2}{GJ} \frac{\tanh k\lambda}{2} B_r = -\frac{k^2 \lambda^2}{GJ} B_r \quad (30)$

(30) 式は,  $B = -ECw\ddot{\varphi}$  を差分式にした式に一致する。即ち曲げ振動の場合と同様, 曲げ振れに対する 3連モーメントをフレキシビリティとする方法が  $\delta^2 B_{r-1}$  を考慮しているので,  $B = -ECw\ddot{\varphi}$  の差分式とフレキシビリティとするよりも精度の点で優れていることが証明された。

尚, 高橋脚構造, 曲線桁等の問題となる曲げ振動と曲げ振れ振動との場合は

$$P_r = -\frac{x\lambda_r A_r}{g} (\ddot{\varphi}_{r,t} + e_r \ddot{\varphi}_{r,t}), \quad M_{Tr} = -\frac{x\lambda_r I_{pr}}{g} \ddot{\varphi}_{r,t} - \frac{x\lambda_r A_r}{g} (\ddot{\varphi}_{r,t} + e_r \ddot{\varphi}_{r,t}) e_r \quad (31)$$

(31) と (1), (18) に代入し今迄と同様の計算をすると次式が得られる。

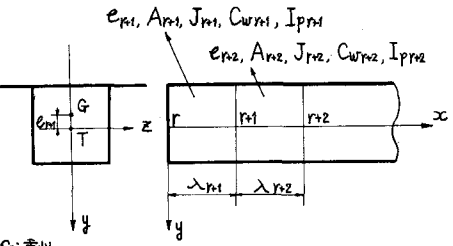


図-2

$$C\{M\} = P^2 E\{y\} + P^2 D\{\varphi\} \quad \dots \quad (32) \quad H\{B\} + I\{y\} = P^2 E\{y\} + P^2 J\{y\} \quad \dots \quad (33)$$

この両式と(5), (26)の4ヶの式より、例えれば{B}, {M}, {y}を消去し{y}≠0の条件より次の振動方程式が得られる。  $\det[(H\bar{F}^{-1}G + I - P^2E)D^{-1}(CA^T B - P^2E) - P^4J] = 0 \quad \dots \quad (34)$

#### 4. 数値計算例による精度の比較

##### 4-1. 曲げ振動 --- 等断面・等区间長

○単純支持 3連モーメントをフレキシビリティとする場合

$$(4), (3) を差分式にし、sin フーリエ定和分変換すると 但し  $D_i = 2(1 - \cos \frac{i\pi}{n})$   
 $\frac{EI}{\lambda^2} D_i S_i[y_r] = \frac{(b-D_i)}{6} S_i[M_r], \quad D_i S_i[M_r] = \frac{YX^2 A}{g} P^2 S_i[y_r]$  この両式より  $P = \frac{n^2 D_i}{\ell^2} \sqrt{\frac{6}{b-D_i}} \sqrt{\frac{EIg}{YA}}$$$

$$M_r = -EI \frac{\Delta^2 y_{r-1}}{\lambda^2}$$
 をフレキシビリティとする場合  $\dots \quad (35)$

$$S_i[M_r] = \frac{EI}{\lambda^2} D_i S_i[y_r] \text{ と } D_i S_i[M_r] = \frac{YX^2 A}{g} P^2 S_i[y_r] \text{ より } P = \frac{n^2 D_i}{\ell^2} \sqrt{\frac{EIg}{YA}} \quad \dots \quad (36)$$

$$\text{厳密解は } P = \frac{\ell^2 \pi^2}{\lambda^2} \sqrt{\frac{EIg}{YA}} \quad \dots \quad (37) \quad \text{以上により図-3に固有振動数、周期の精度を分割数} n \text{ に対して1次から3次迄示す。 固定支持の場合は紙面の都合上省略する。}$$

##### 4-2. 曲げ振れ振動 --- 等断面・等区间長

○単純支持 曲げ振れに対する3連モーメントをフレキシビリティとする場合

$$(20), (25) から同様に計算し  $S_i[\varphi_r] \neq 0$  より  $P = \sqrt{\frac{D_i^2}{k\lambda \{(\varphi(1)D_i - 2(\varphi(1) - \varphi(0)))\}}} \times \frac{1}{\lambda} \sqrt{\frac{GJg}{8(I_p + e^2 A)}} \quad (38)$$$

$$B_r = -EC_w \frac{\Delta^2 \varphi_{r-1}}{\lambda^2}$$
 をフレキシビリティとする場合

$$B_r = -EC_w \frac{\Delta^2 \varphi_{r-1}}{\lambda^2} \text{ と (20) より同様に } P = \sqrt{\frac{D_i^2}{k^2 \lambda^2} + D_i \times \frac{1}{\lambda} \sqrt{\frac{GJg}{8(I_p + e^2 A)}}} \quad (39)$$

I形、box断面について固有振動数の精度を図-4、図-5に示す。

○固定支持 曲げ振れに対する3連モーメントをフレキシビリティとする場合

$$-\varphi(0) + \frac{2\varphi(1)}{n} \sum_{i=1}^{n-1} \frac{D_i}{\Delta i} \left[ \frac{GJD_i}{k\lambda} + \varphi(1) \left\{ GJD_i - \frac{YX^2}{g} (I_p + e^2 A) p^2 \right\} \right] \sin^2 \frac{i\pi}{n} + \frac{ECwk}{\lambda} \frac{2}{n} \sum_{i=1}^{n-1} \frac{2\alpha_i}{\Delta i} (\varphi(0) - \varphi(i)) \sin^2 \frac{i\pi}{n} = 0 \quad \dots \quad (40)$$

$$\Delta_1 = -\frac{GJD_i^2}{k\lambda} + \left\{ -\varphi(1)D_i + 2(\varphi(1) - \varphi(0)) \right\} \left\{ GJD_i - \frac{YX^2}{g} (I_p + e^2 A) p^2 \right\} \quad \alpha_i = \begin{cases} (-1)^{i-1} & \text{for 対称振動} \\ -(-1)^{i-1} & \text{for 逆対称振動} \end{cases}$$

$$B_r = -EC_w \frac{\Delta^2 \varphi_{r-1}}{\lambda^2}$$
 をフレキシビリティとする場合  $\Delta_2 = -\frac{EC_w D_i^2}{\lambda^2} - GJD_i + \frac{YX^2}{g} (I_p + e^2 A) p^2$

$$-\varphi(0) + \frac{2\varphi(1)}{n} \sum_{i=1}^{n-1} \frac{D_i}{\Delta_2} \frac{EC_w D_i}{\lambda^2} \sin^2 \frac{i\pi}{n} + \frac{ECwk}{\lambda} \frac{2}{n} \sum_{i=1}^{n-1} \frac{\alpha_i}{\Delta_2} \sin^2 \frac{i\pi}{n} = 0 \quad (41)$$

図-4、図-5に示した横に対し結果を図-6に示す。フーリエ定和分変換については参考文献1)参照

5. 結び discreteな振動系を想定するとき、力(orトルク)の釣合式ともう一本の式としてFlexibilityに関するものがあるが、このFlexibilityとして3連モーメントを用いる方が、曲げ振動に対しては  $M = -EIy$  の差分式(曲げ振れ振動では  $B = -EC_w y$  の差分式)を用いるより精度の良いことを明らかにした。例えば、図-3より単純支持軸・曲げ振動1次に対し3連モーメントによる場合は、2分割で約99%，4分割で約100%に対し、 $M = -EIy$  の差分式による場合はそれぞれ約81%，95%である。(fの厳密解に比較して) 固定支持・曲げ振動、曲げ振れ振動では断面諸元、 $\ell$ 、 $\gamma$ の影響が入ってきて、単純支持・曲げ振動のように一般的な精度比較はできない。曲げ振れ振動では  $B = -EC_w y$  の差分式をFlexibilityとする場合の誤差はI形断面の方がbox断面より大きく、又一般に固定支持の方が単純支持より誤差は大きい。

3連モーメントをFlexibilityとする場合は、二の逆になる。

更に一般に曲げ振動でも、曲げ振れ振動でも3連モーメントによる方法より、 $M = -EI\ddot{\gamma}$  (or  $B = -ECw\ddot{\phi}$ ) の差分式による方法が、振動次数が高くなるにつれ、誤差の増加が大きい。結局分割数が少なくても3連モーメントをFlexibilityとした場合、精度は差程落ちないようである。今後は、平板やシェルの固有振動問題に対して、二の3連モーメントをFlexibilityとする考え方を拡張していきたい。

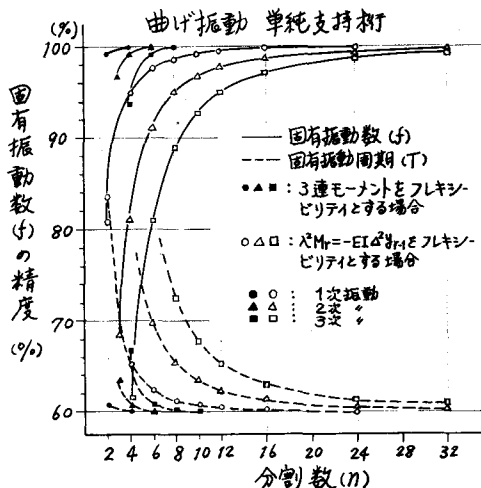


図-3

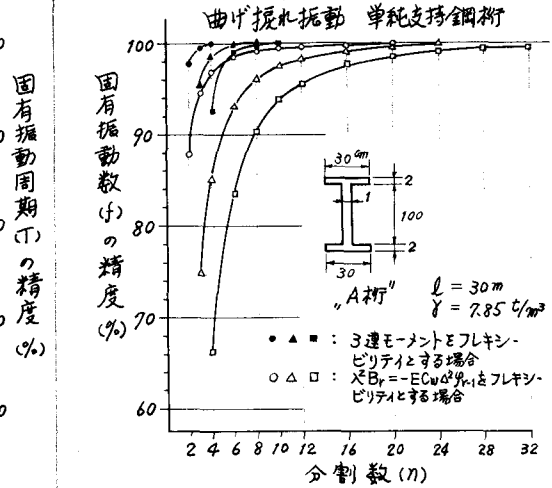


図-4

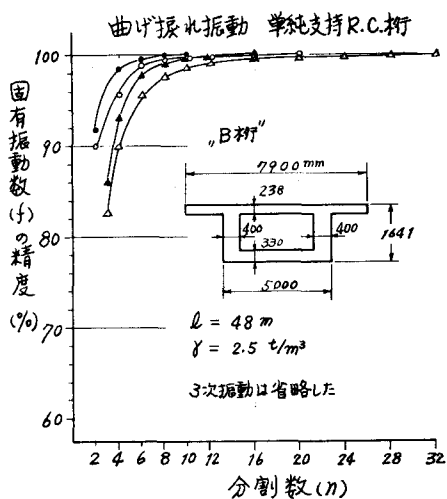


図-5

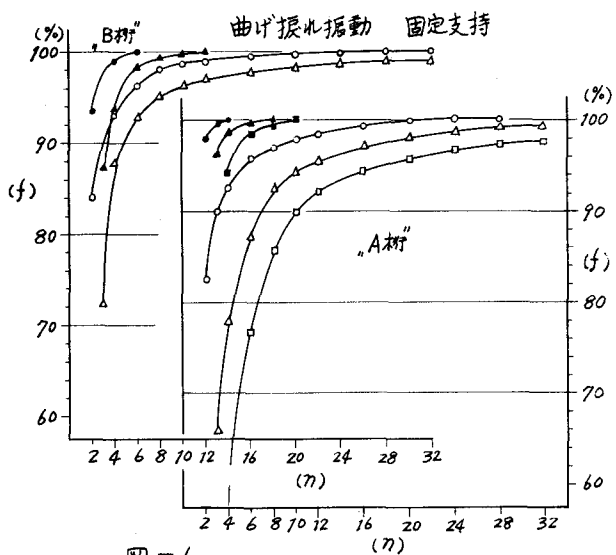


図-6

- 参考文献 1). S.G. Nomachi : A Note on Finite Fourier Transforms Concerning Finite Integration (Trans. Mem. Vol. 5, No. 2)  
2). S. チモシエンコ : 工業振動学